

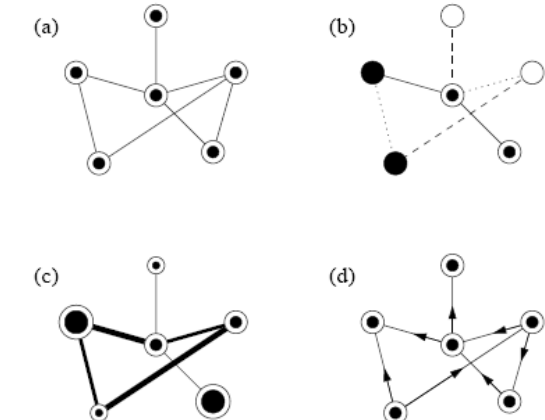
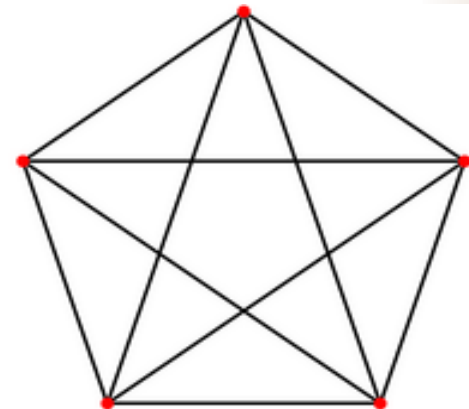
Aufbaukurs Bioinformatik



5. Tag: Interaktionsnetzwerke, Datenbanken
und Werkzeuge
+ Nachbesprechung

Ursula Kummer, Sven Sahle
mit Ulla Rost, Katja Wegner und Andreas Weidemann

Graphen



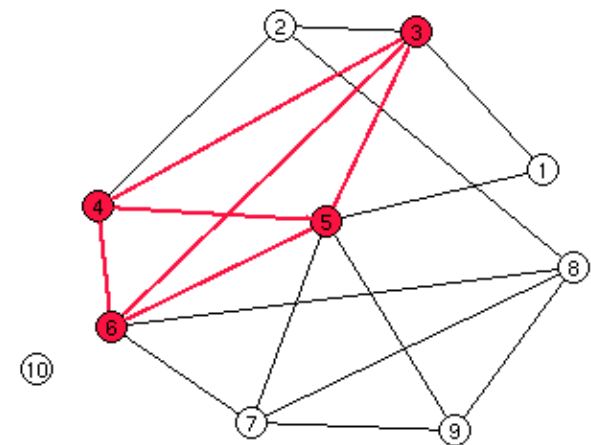
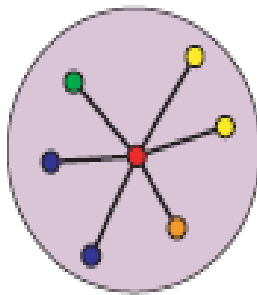
Begriffe:

Knoten

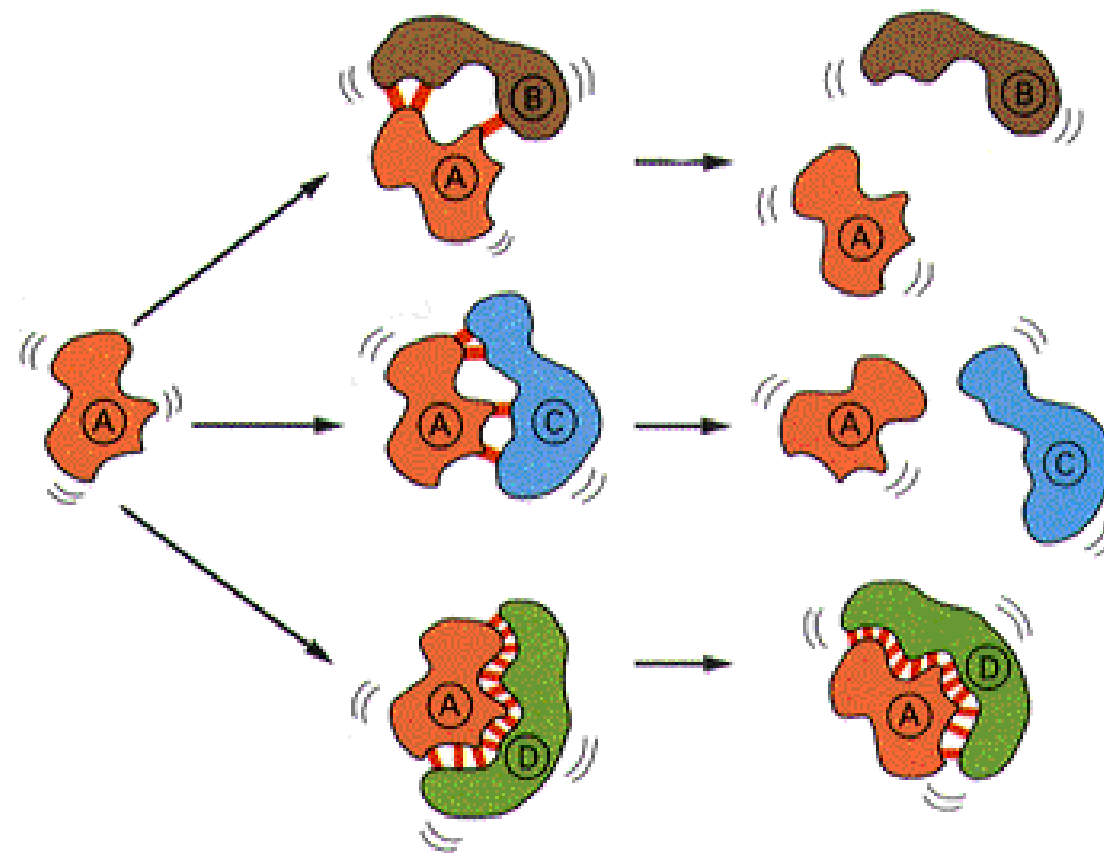
Kanten

Gerichtet/Ungerichtet

Hubs



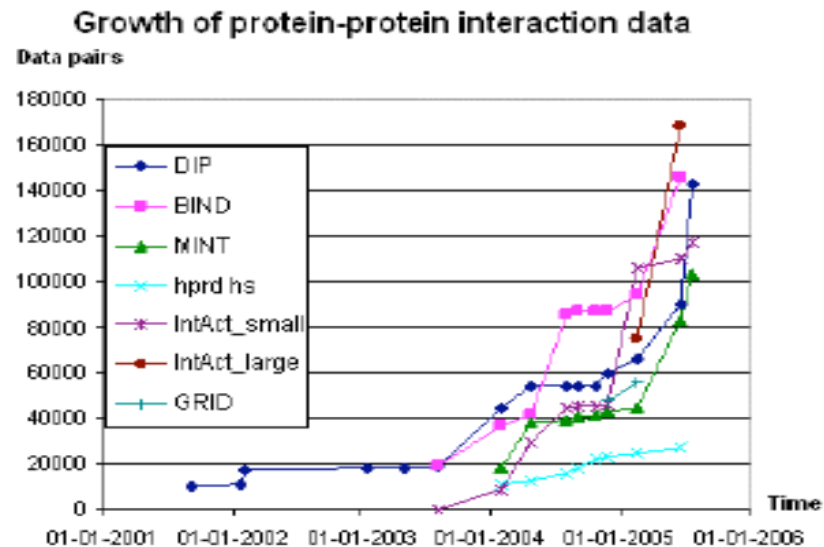
Protein-Protein-Interaktions- Netzwerke



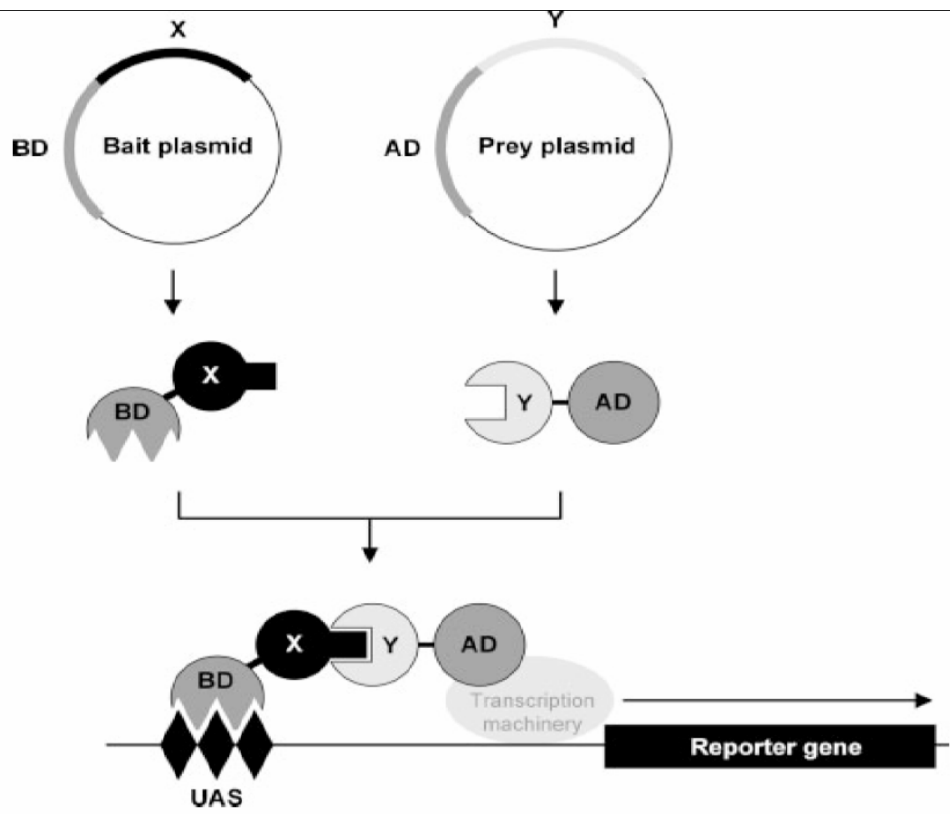
From The Art of MBoC3 © 1995 Garland Publishing, Inc.

Woher kommen die Daten?

- **Phyikalische Interaktionen**
 - z.B.
 - Yeast two hybrid screens
 - Affinitätsaufreinigung (MS)
 -
- **Andere Interaktionen**
 - Genetischer Kontext, z.B. Correlationen bei der Expression



Yeast two-hybrid

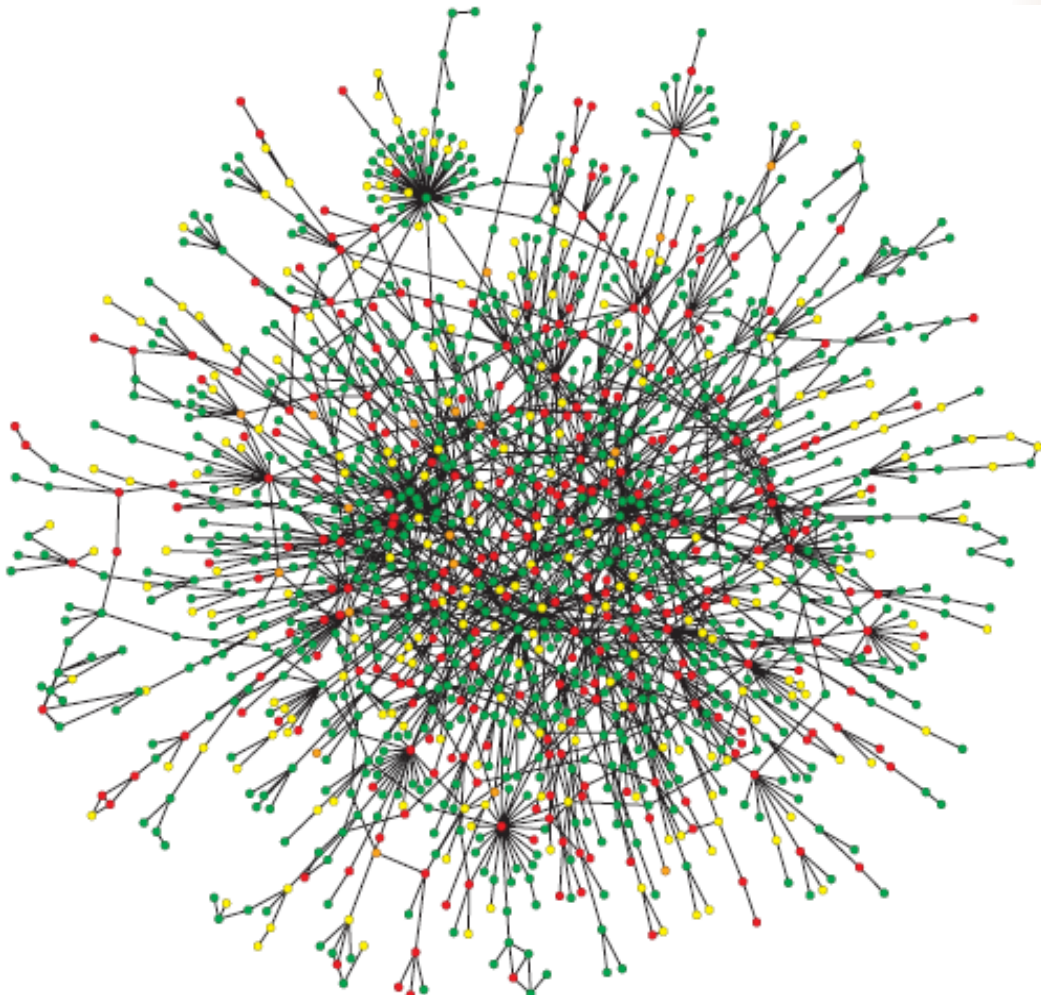


Y2H erkennt Interaktionen *in vivo*.

Ein Transkriptionsfaktor wird aus einer Aktivierungsdomäne (AD) und einer DNA-Bindungs-Domäne (DBD) aufgebaut.

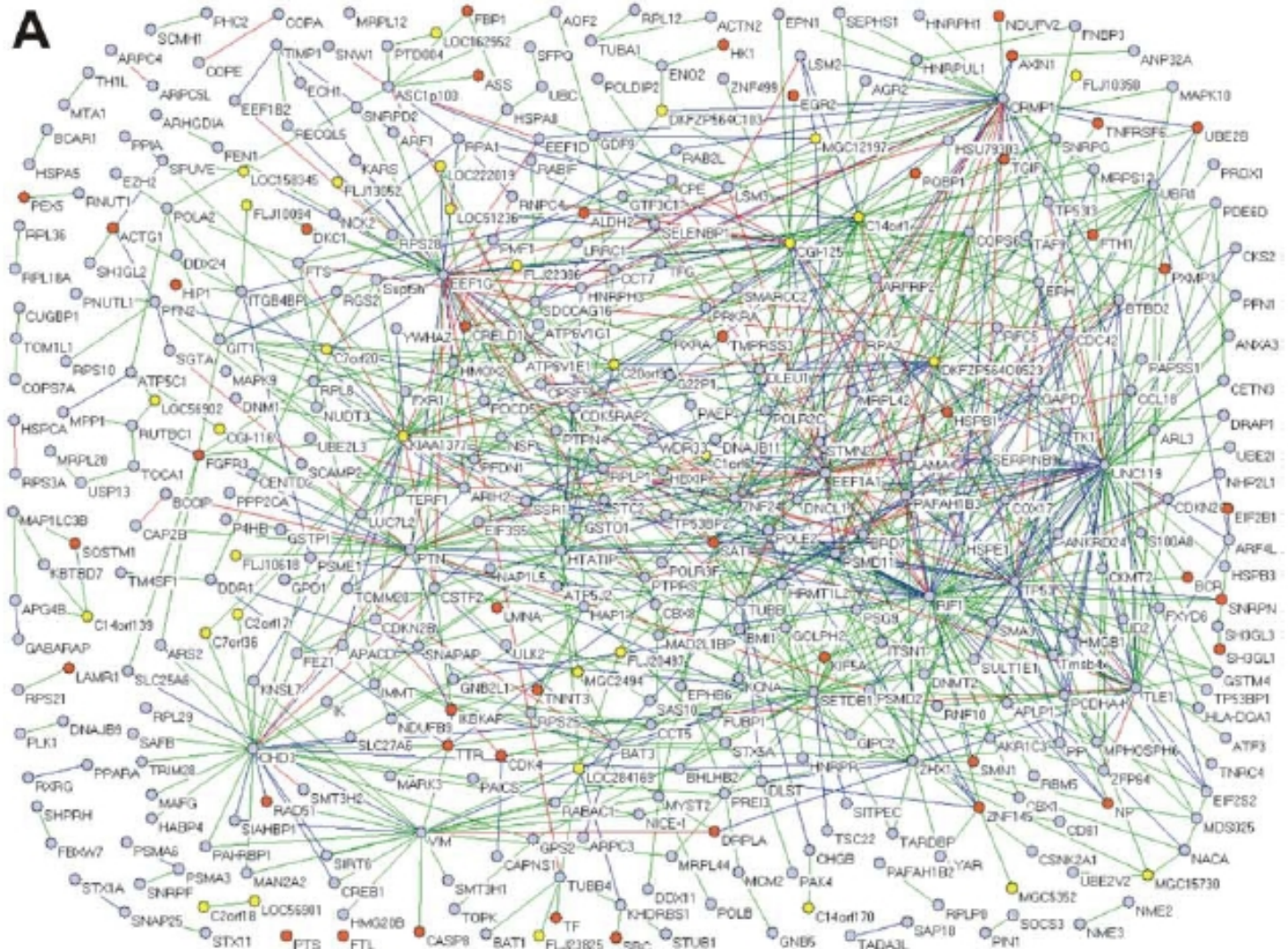
Ein Köderprotein ('bait') B wird an eine DBD angehängt und gegen eine Bibliothek von Beuteproteinen ("preys"), von denen jedes an einer AD hängt, gescreent.

Beispiel



- Hefe PPI-Netzwerk
- Knoten – proteins
- Kanten – interactions

Beispiel: Mensch



Falsch Positive und falsch Negative

Die Interaktome (z.B. Hefe)

decken ca. 3-9% des kompletten
Interaktoms ab

-> Falsch Negative durch limitierte
Kenntnisse

-> Falsch Positive durch
experimentelle Fehler und
unphysiologisches Milieu

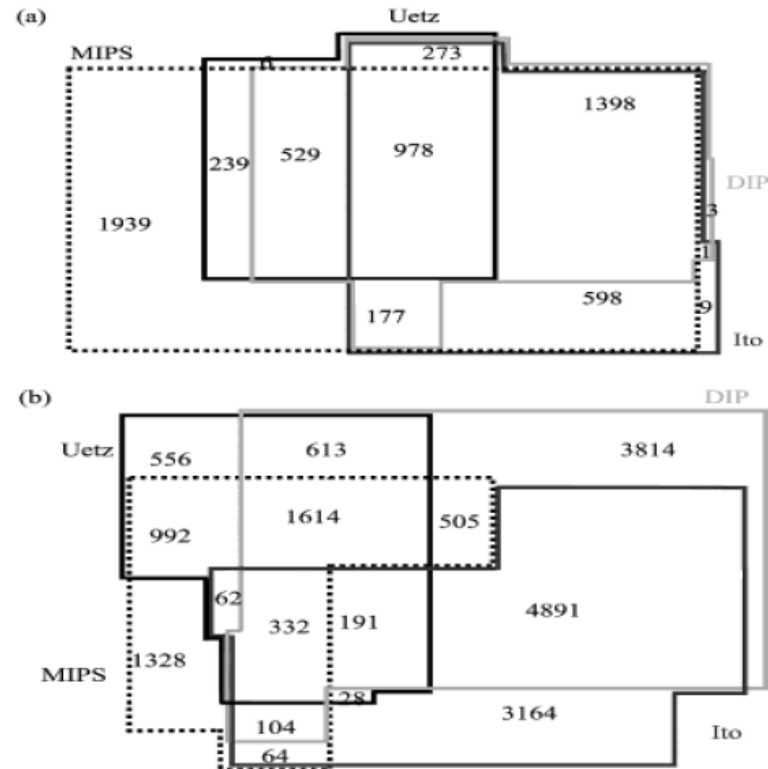
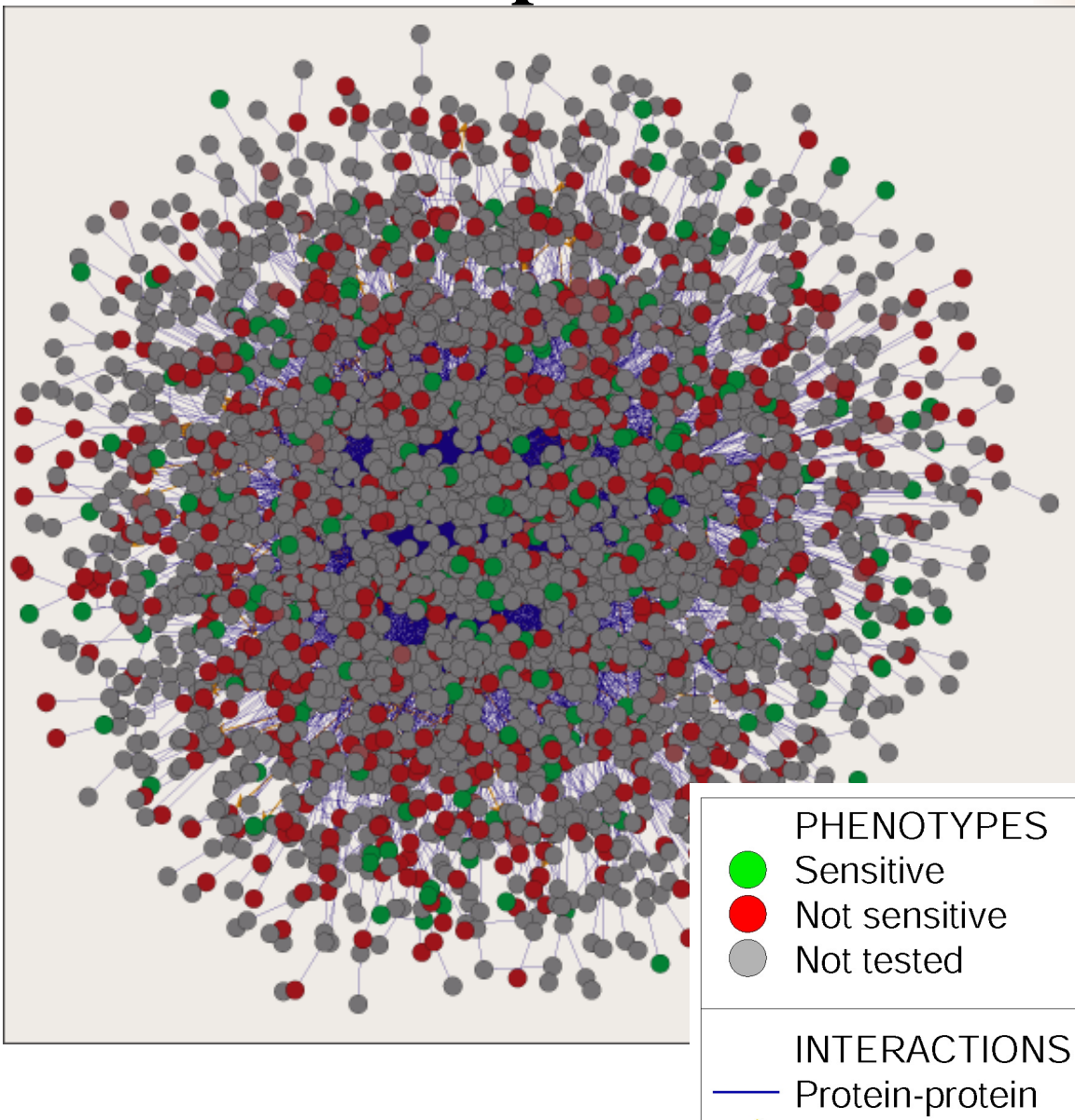


Figure 1. Relationship between the four studied databases (a) at the protein and at (b) the interaction level. The sum of the numbers within each color boundary denotes (a) the total number of proteins or (b) the total number of interactions found in the corresponding database. For example, (a) indicates that the MIPS database has altogether 6745 proteins, of which 1939 proteins with at least one interaction do not show interactions in any other databases. Note that while the overlap between the Uetz and Ito maps, (a) at the protein level is as high as 30%, (b) at the interaction level it is much smaller.

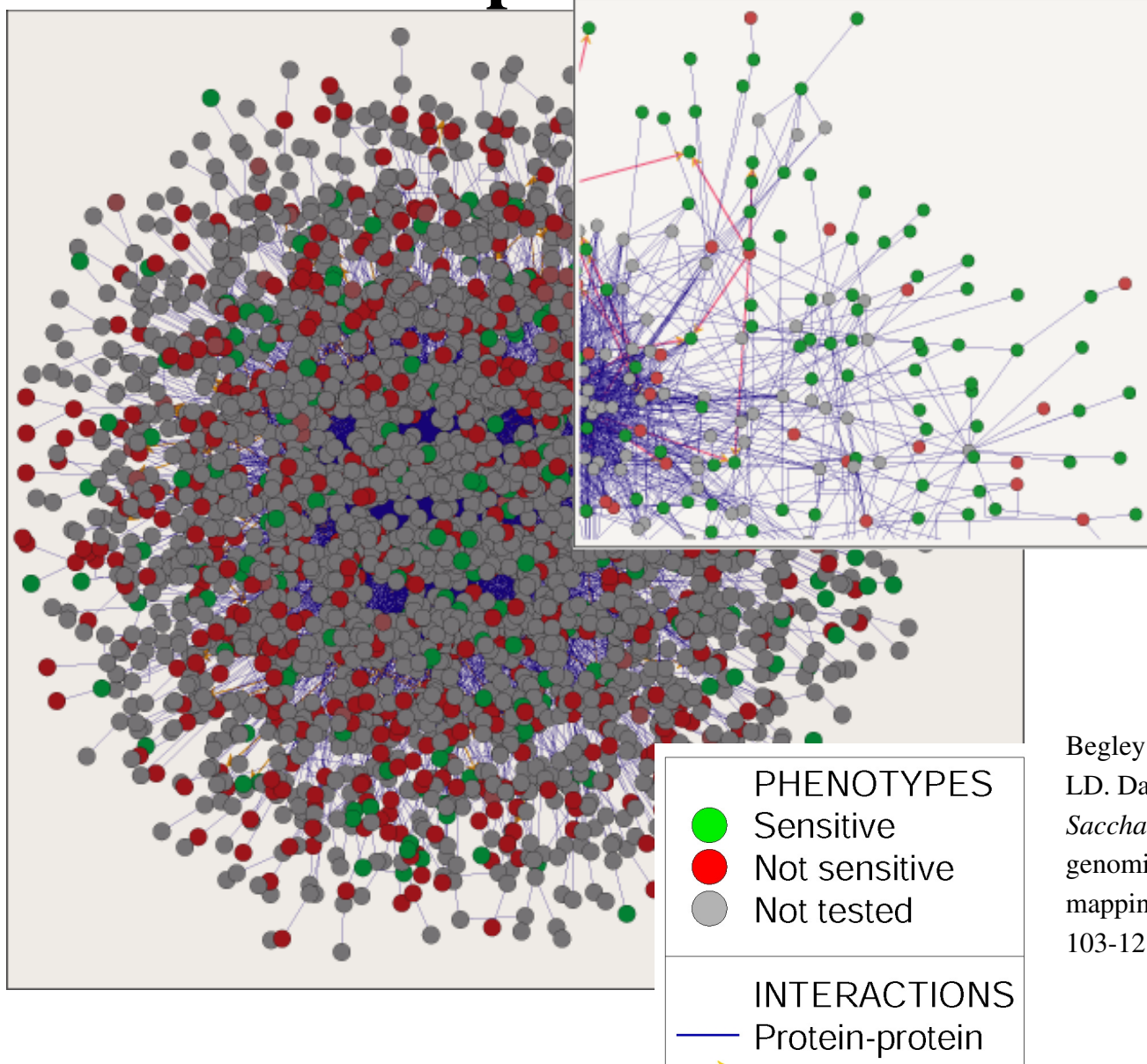
Beispiel: Hefe-Knockouts



- Systematische Phenotypisierung von 1615 Knockout-stämmen
- Evaluation des Wachstums in der Gegenwart von Methylmethansulfonat (MMS und anderen DNA schädigenden Substanzen)
- Vergleich mit einem PPI-Netzwerk

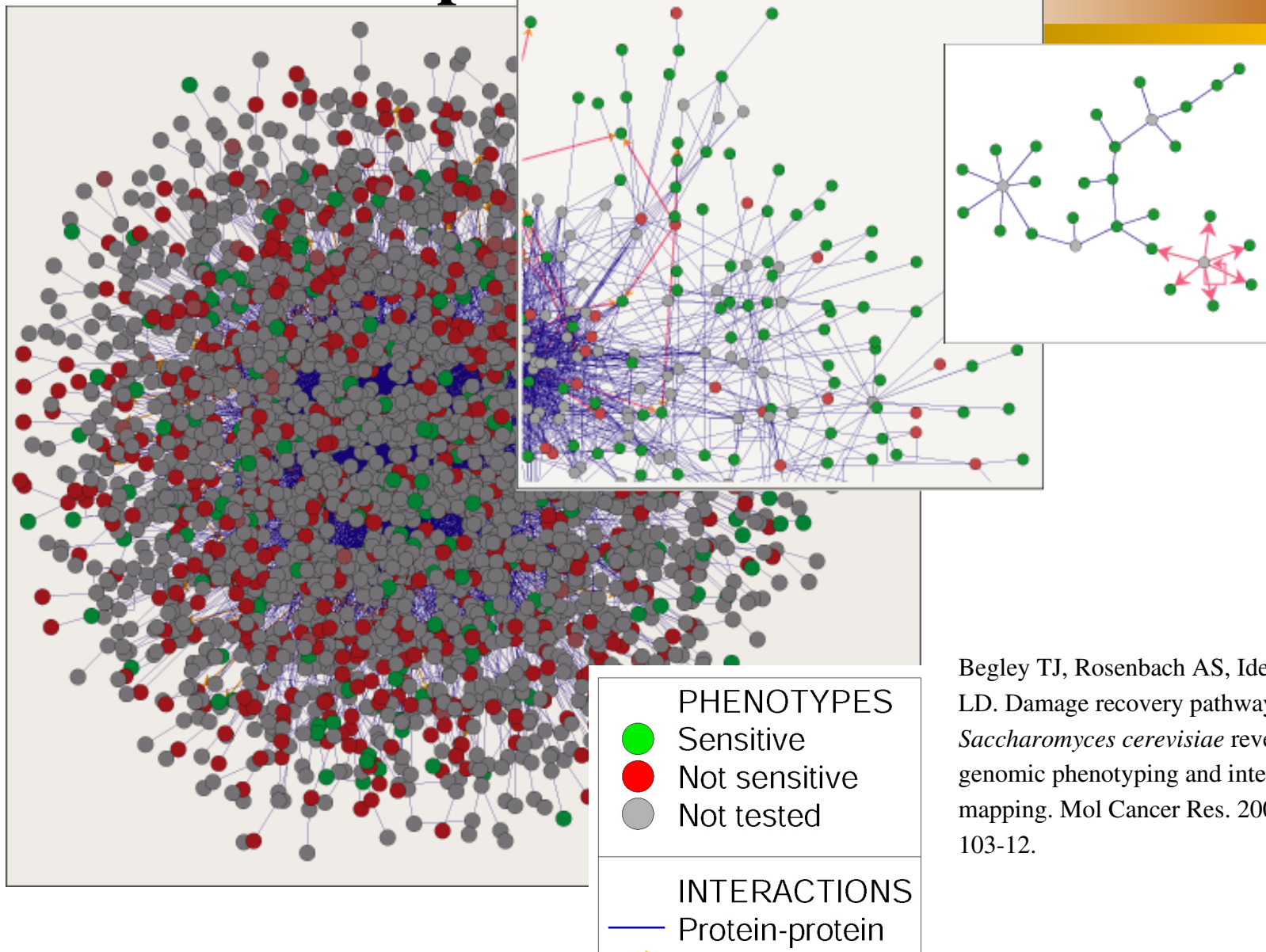
Begley TJ, Rosenbach AS, Ideker T, Samson LD. Damage recovery pathways in *Saccharomyces cerevisiae* revealed by genomic phenotyping and interactome mapping. Mol Cancer Res. 2002 Dec;1(2): 103-12.

Beispiel: Hefe-Knockouts

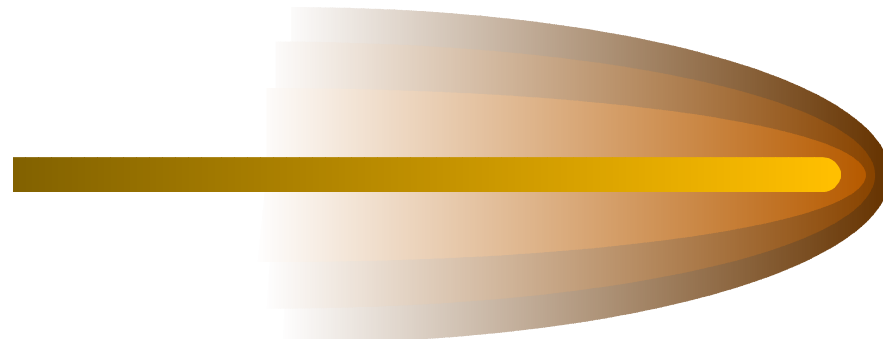
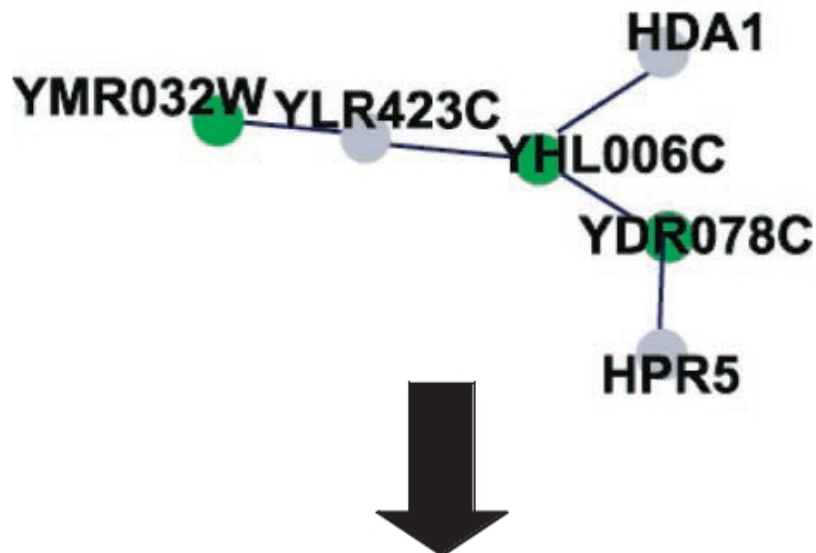


Begley TJ, Rosenbach AS, Ideker T, Samson LD. Damage recovery pathways in *Saccharomyces cerevisiae* revealed by genomic phenotyping and interactome mapping. Mol Cancer Res. 2002 Dec;1(2): 103-12.

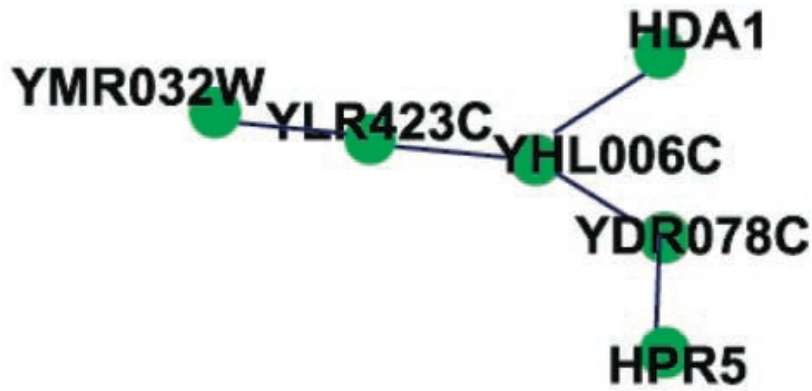
Beispiel: Hefe-Knockouts



Begley TJ, Rosenbach AS, Ideker T, Samson LD. Damage recovery pathways in *Saccharomyces cerevisiae* revealed by genomic phenotyping and interactome mapping. Mol Cancer Res. 2002 Dec;1(2): 103-12.



Grüne Knoten sind für MMS-Resistenz notwendig; graue Knoten wurden erst nicht getestet.



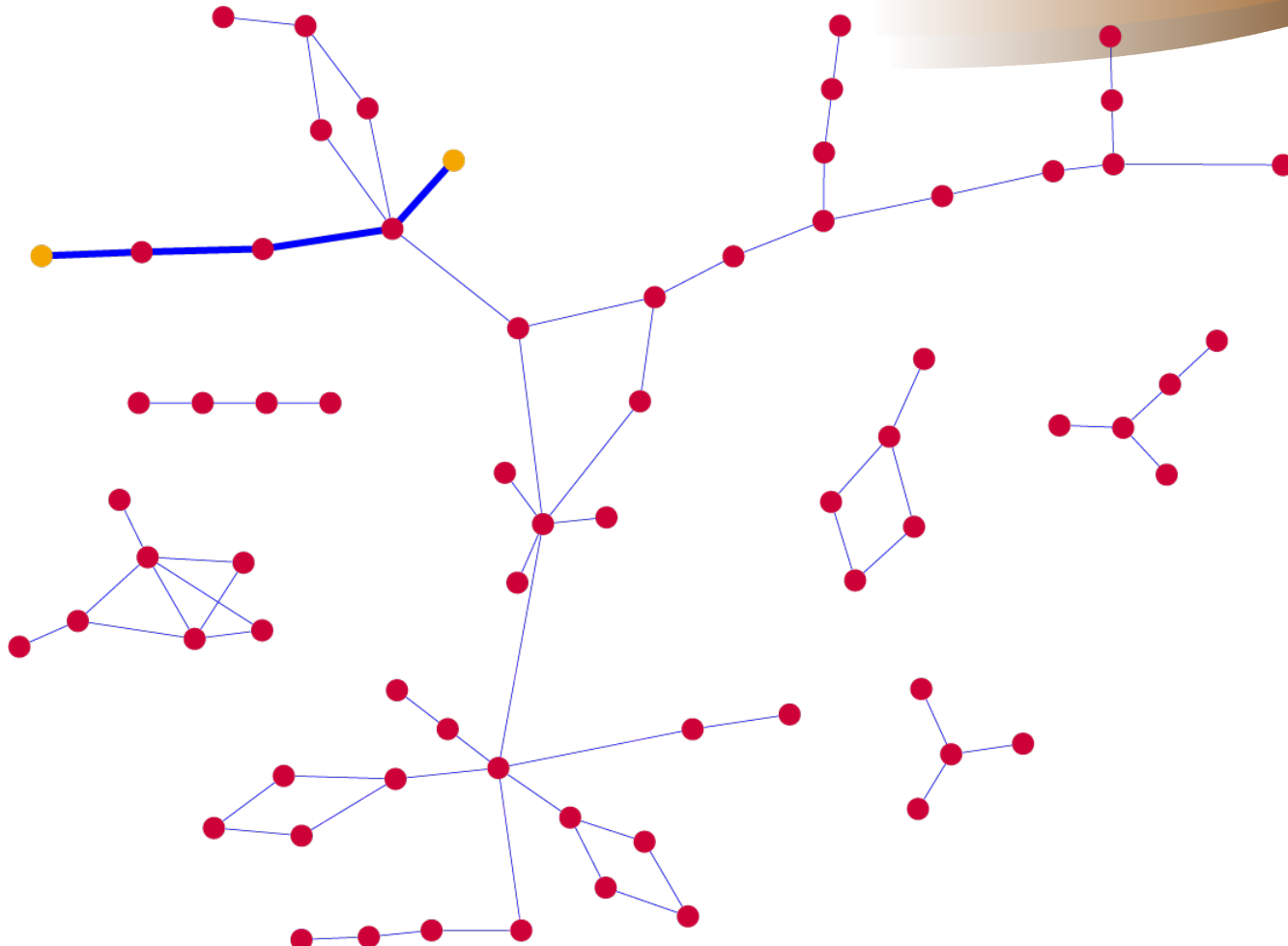
Später nachgetestet und alle sensitiv.

Begley TJ, Rosenbach AS, Ideker T, Samson LD. Damage recovery pathways in *Saccharomyces cerevisiae* revealed by genomic phenotyping and interactome mapping. Mol Cancer Res. 2002 Dec;1(2):103-12.

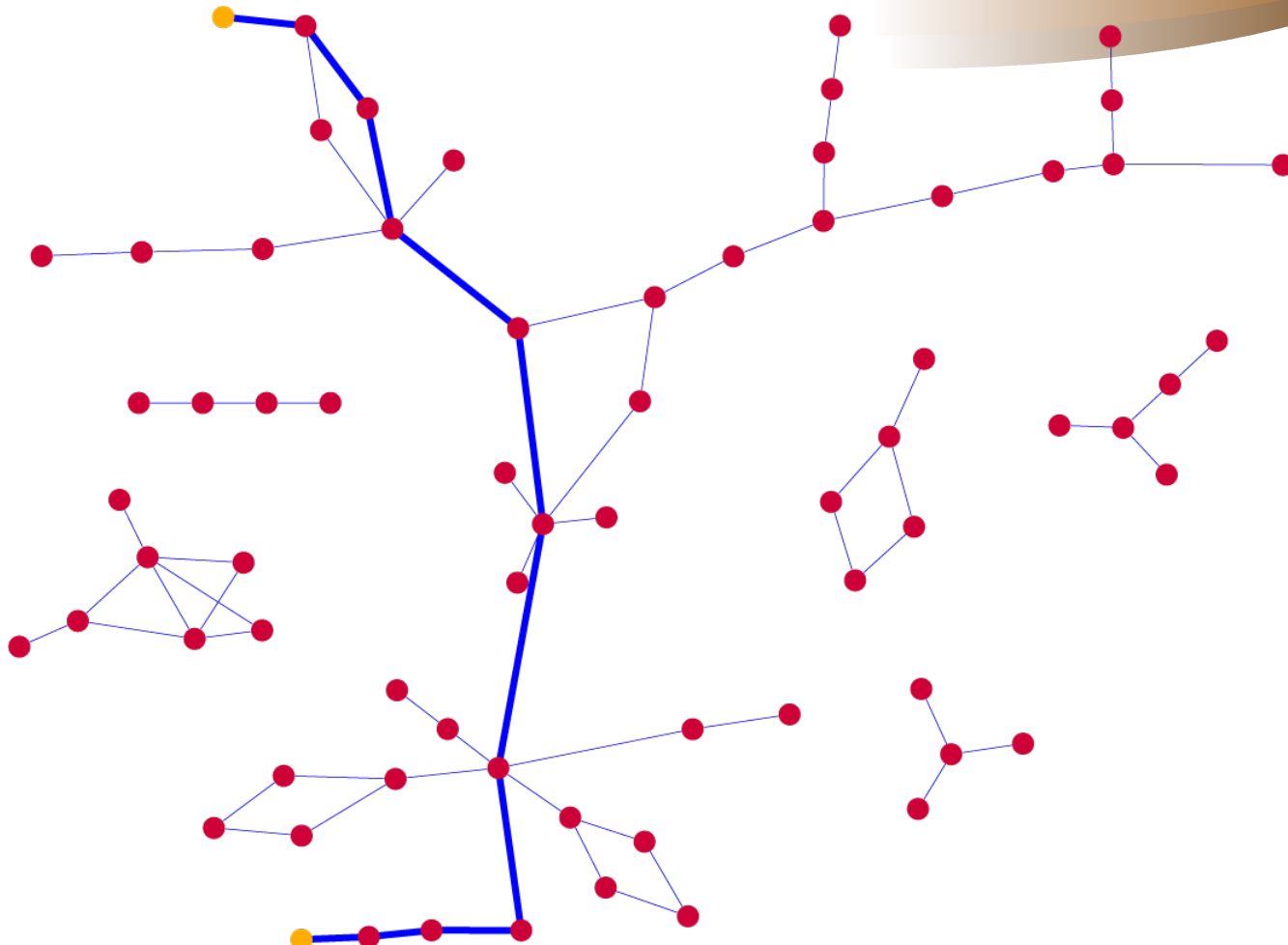
Netzwerkparameter

- Grad (Degree) k_i
Die Zahl der Kanten, an denen Knoten i beteiligt ist
- Gradverteilung? -> Degree distribution $P(k)$
Die Häufigkeit (Frequenz) von Knoten des Grades k
- Mittlere Pfadlänge
Die durchschnittlichen kürzesten Pfade zwischen allen Knotenpaaren
- Clusterkoeffizient? -> Clustering Coefficient
Mass für die Dichte der Nachbarschaft

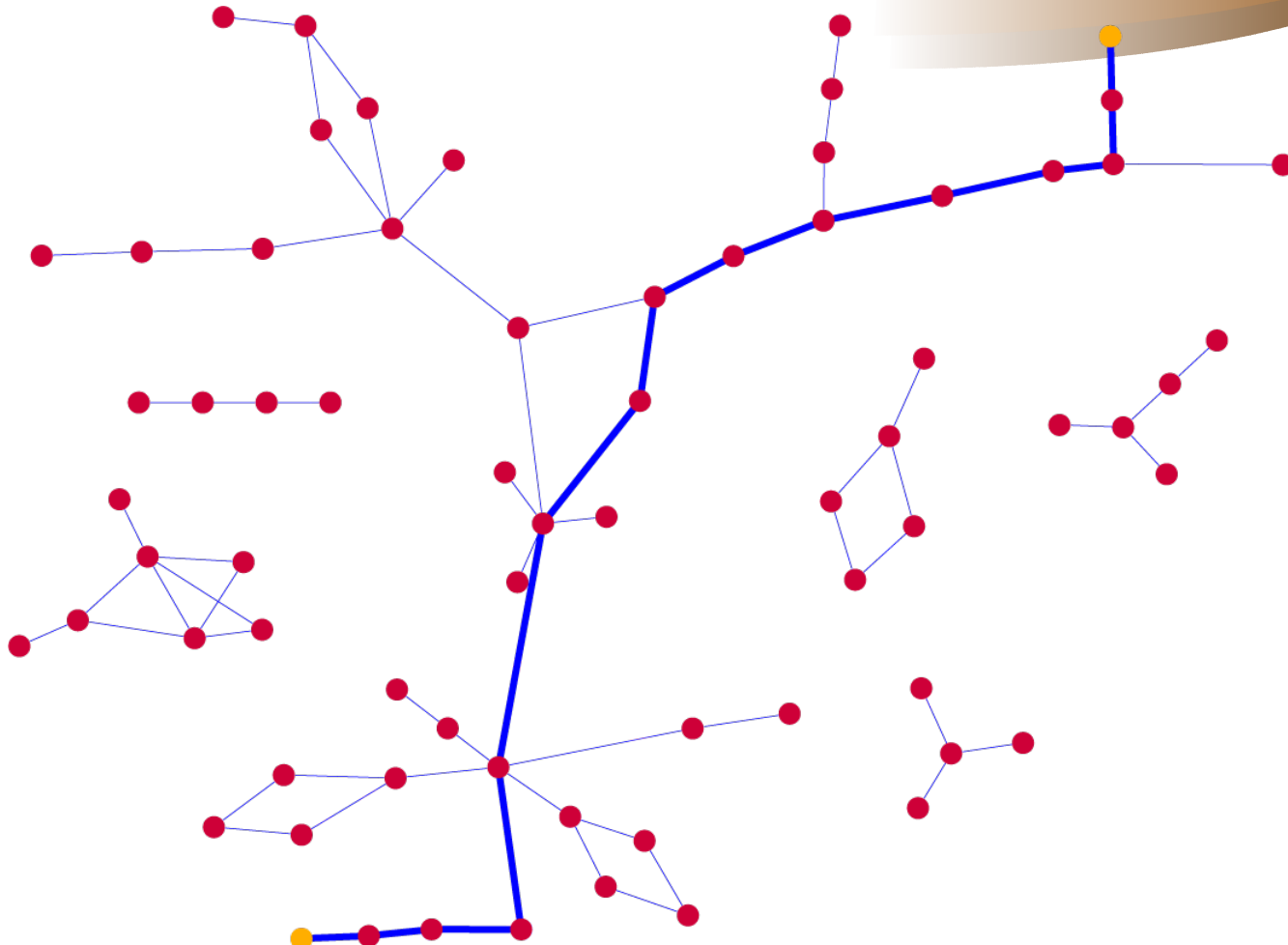
Kürzeste Pfade



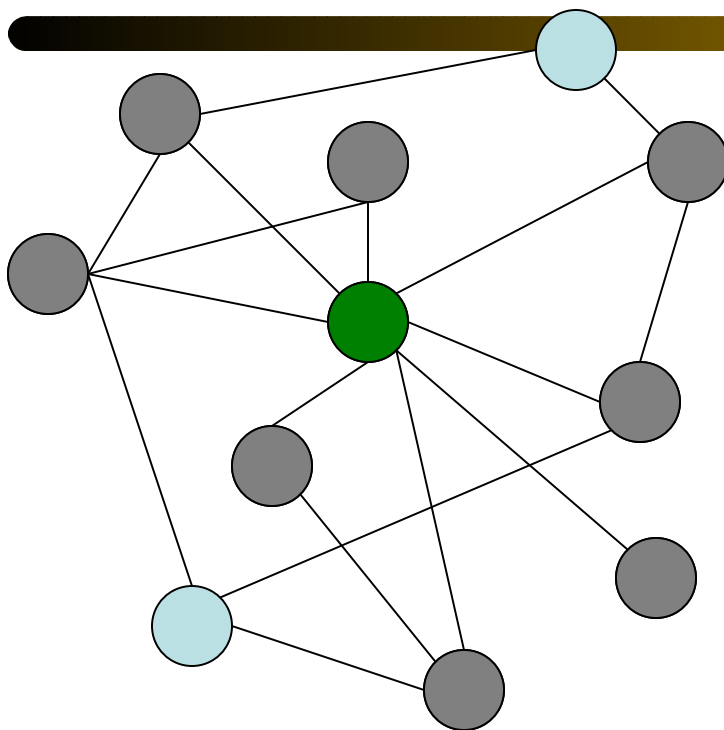
Kürzeste Pfade



Der längste kürzeste Pfad



Clustering Coefficient



Der grüne Knoten hat 8 Nachbarn

Es gibt 4 Kanten zwischen den Nachbarn

$$C = 2 * 4 / (8 * (8 - 1)) = 8 / 56 = 1 / 7$$

Maß für die Dichte des Netzwerks in der Umgebung des Knoten I

$$C_I = \frac{2n_I}{k \cdot (k - 1)}$$

k : Nachbarn von I

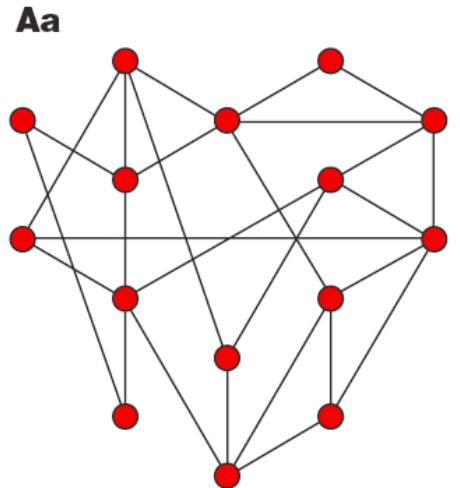
n_I : Kanten zwischen den Nachbarn

Small-world-Netze

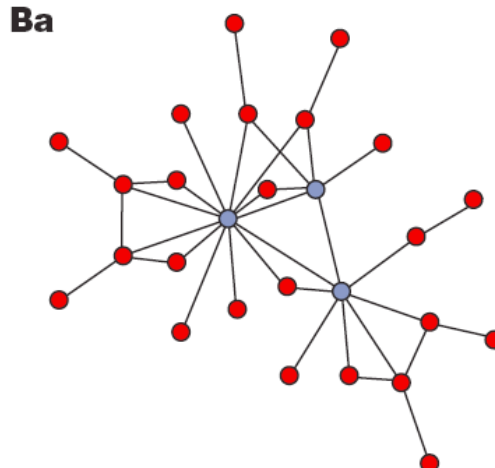
- Jeder Knoten kann von jedem anderen durch wenige Schritte erreicht werden
- Grosser Clustering Coefficient und kurze durchschnittliche kürzeste Pfade
- Soziale Netze, das Internet und biologische Netze haben diese Eigenschaften

Degree Distribution

A Random network



B Scale-free network



Für zufällige Netzwerke, ist
 $P(k)$ normalverteilt

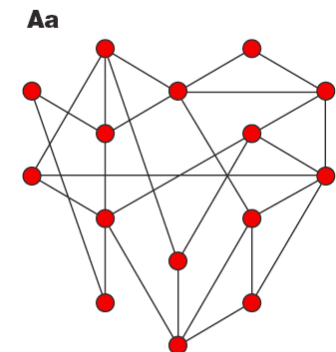
Für reale Netzwerke sind die
Verteilungen oft einem
Potenzgesetz folgend:

$$P(k) \sim k^{-\gamma}$$

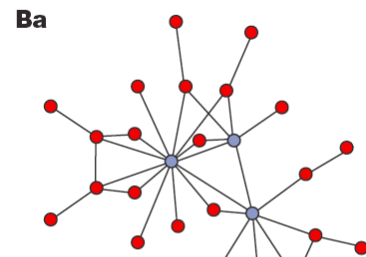
-> scale-free

Analyse der Topologie

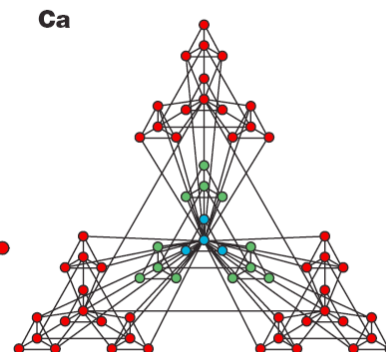
A Random network



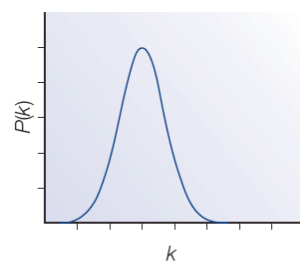
B Scale-free network



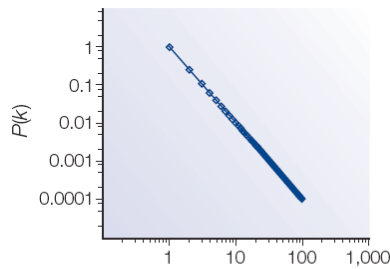
C Hierarchical network



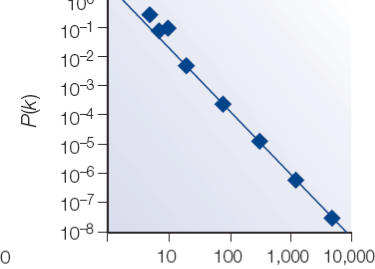
Ab



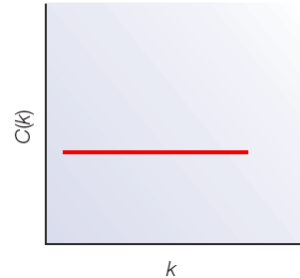
Bb



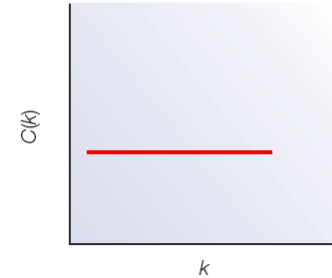
Cb



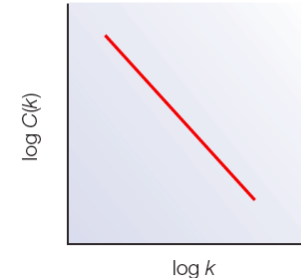
Ac



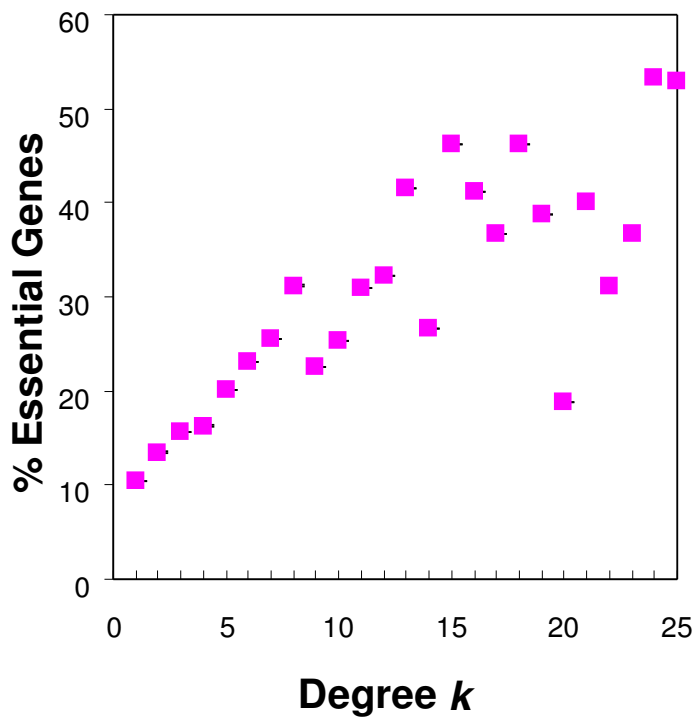
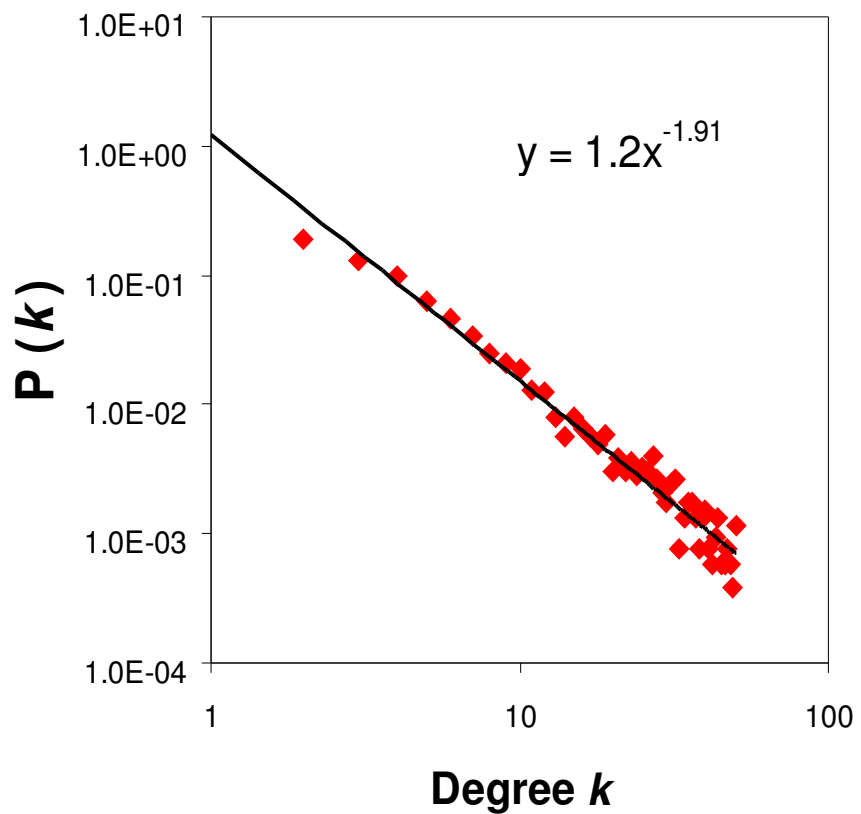
Bc



Cc



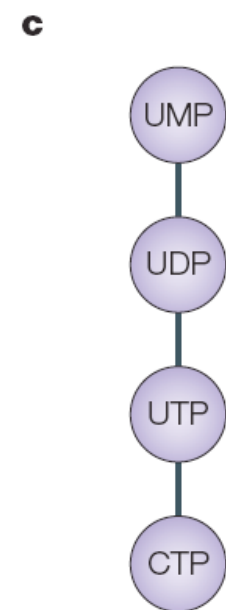
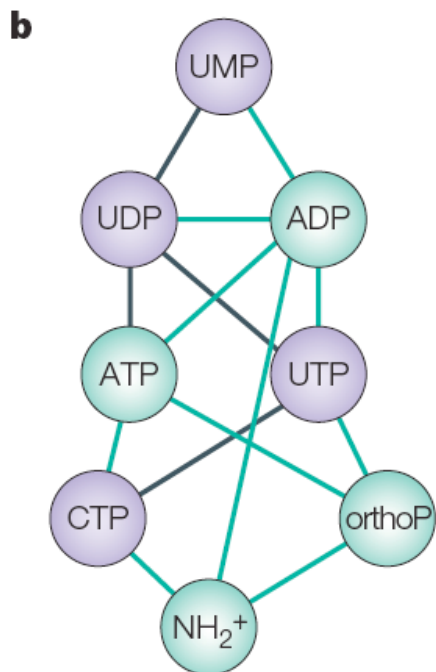
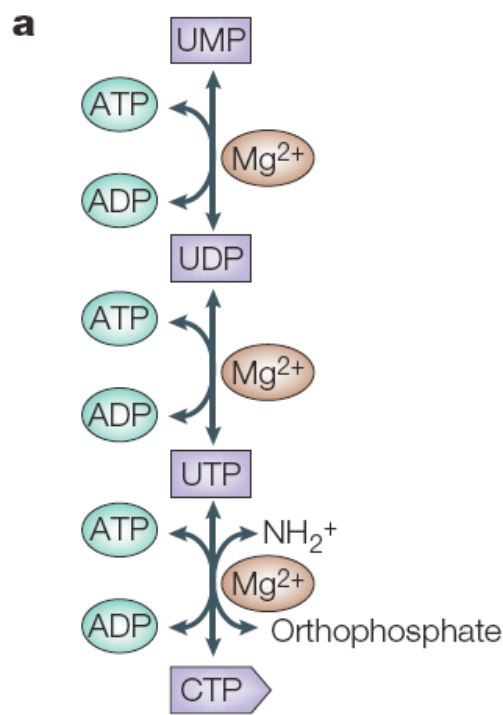
Letalität von Knock-outs



Scale-Free-Netze sind robust

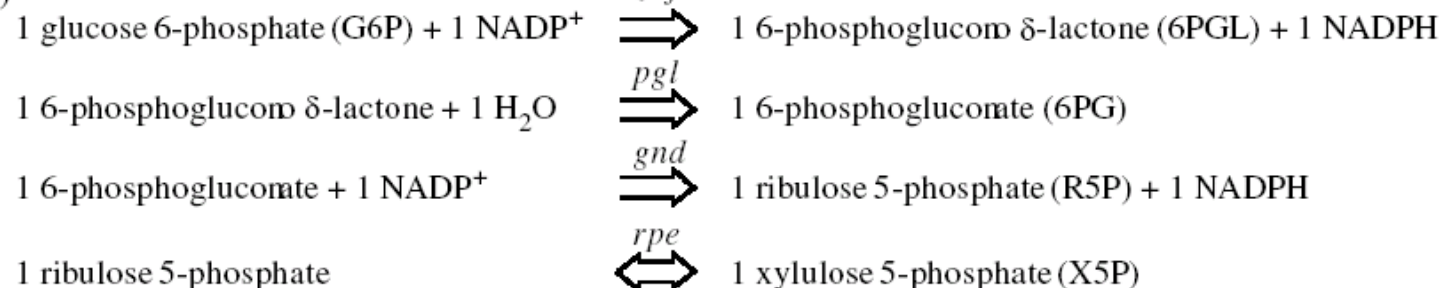
- Komplexe Systeme sind robust gegenüber dem Ausfall einzelner Komponenten
- Die Topologie spielt dabei eine wichtige Rolle
 - Sogar wenn ~80% der Knoten ausfallen, können die übrigen ~20% verlinkt bleiben
- In Hefe sind nur ca. ~20% der Proteinausfälle letal und es ist 5mal wahrscheinlicher, dass sie einen Grad $k > 15$ als $k < 5$ haben.

Metabolische Netze

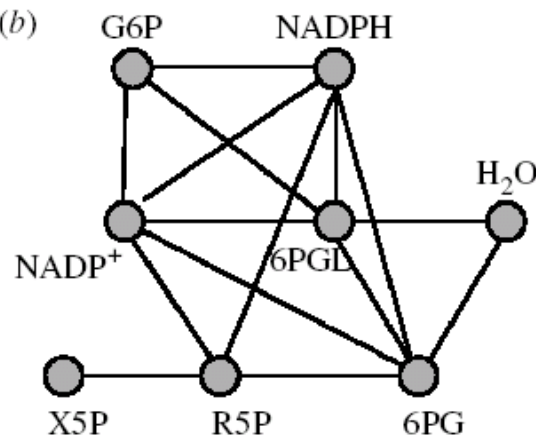


Metabolische Netze

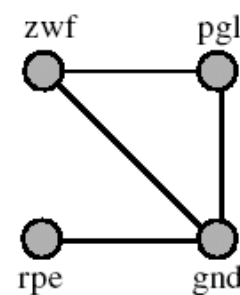
(a)



(b)

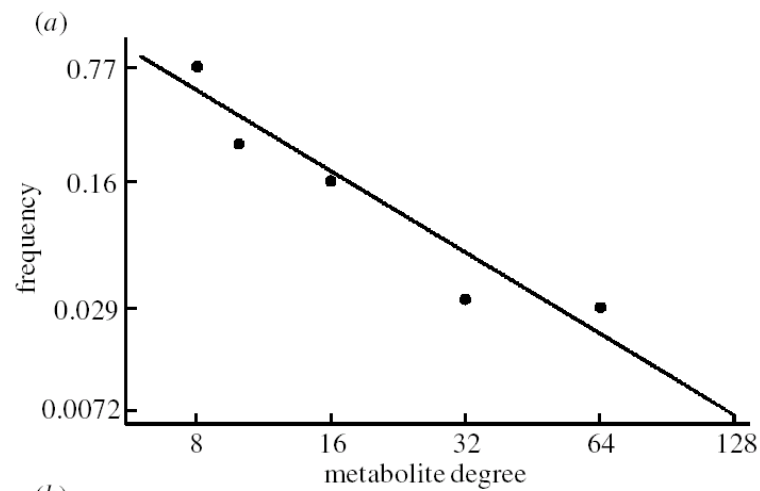


(c)



Wagner, A, Fell DA

Proc Biol Sci. 2001 Sep 7;268(1478):1803-10.



PPI – Datenbanken + Tools

- München (Mammalian PPI Database)
<http://mips.gsf.de/proj/ppi/>
- BIOGRID – genetische und PPI
<http://biodata.mshri.on.ca/grid/>
- <http://128.100.65.8/ophidv2.201/> - PPI (exp. und IT) ursprünglich nur Mensch
- Intact (EBI) - PPI
<http://www.ebi.ac.uk/intact/site/index.jsf>
- Visant – Visualization von Interaktionen – z.Zt. sehr schlecht
<http://visant.bu.edu/>
- Apid – greift auf mehrere DB zu – auch Statistik
<http://bioinfow.dep.usal.es/apid/index.htm>